

ΣΥΝΕΔΡΙΑ ΤΗΣ 13^{ΗΣ} ΙΟΥΝΙΟΥ 2002

ΠΡΟΕΔΡΙΑ ΜΗΤΡΟΠΟΛΙΤΟΥ ΠΕΡΓΑΜΟΥ ΙΩΑΝΝΟΥ (ΖΗΖΙΟΥΛΑ)

ΑΣΤΡΟΝΟΜΙΑ. – Έπαναληπτικότητα στο Χάος, υπό του Ἀκαδημαϊκοῦ κ. Γ. Κοντοπούλου καὶ τῆς Μ. Χαρσούλα*.

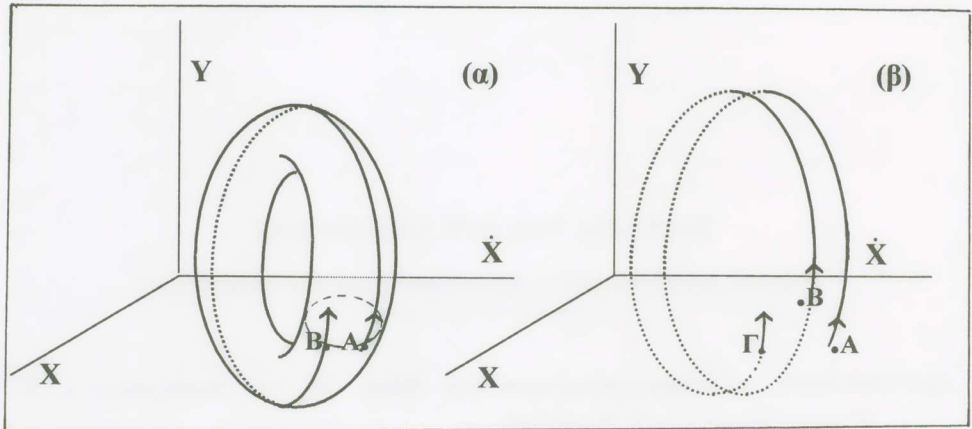
1. Εἰσαγωγή

Θὰ παρουσιάσω σήμερα ὠρισμένα πρόσφατα συμπεράσματα ἑνὸς προγράμματος ποῦ χρηματοδοτεῖται ἀπὸ τὴν Ἐπιτροπὴ Ἐρευνῶν τῆς Ἀκαδημίας. Τὰ συμπεράσματα μας ἀναφέρονται σὲ ἓνα θέμα σημαντικοῦ θεωρητικοῦ καὶ πρακτικοῦ ενδιαφέροντος, τὴν «ἐπαναληπτικότητα στὸ χάος».

Ἡ διάκριση μεταξύ τάξεως καὶ χάους στὶς τροχιὰς τῶν ἀστέρων σὲ ἓνα γαλαξία γίνεται παραστατικὰ σὲ μία «ἐπιφάνεια τομῆς Poincaré» (Σχ. 1 α, β). Θεωροῦμε τὶς τροχιὰς στὸ χωρὸ τῶν φάσεων (x, y, \dot{x}) , ποῦ περιλαμβάνει τὶς συντεταγμένες x καὶ y καὶ τὴν ταχύτητα \dot{x} . Ἐὰν μία τροχιὰ εἶναι ὀργανωμένη, καλύπτει τὴν ἐπιφάνεια ἑνὸς δακτυλίου (Σχ. 1 α). Οἱ τομές τῆς τροχιᾶς ἀπὸ τὴν ἐπιφάνεια τομῆς $y=0$ εἶναι σημεῖα A, B, \dots στὸ ἐπίπεδο (x, \dot{x}) , ποῦ εὐρίσκονται ἐπάνω σὲ μιὰ καμπύλη, δηλαδὴ στὴν τομὴ τοῦ δακτυλίου ἀπὸ τὸ ἐπίπεδο $y=0$. Ἀντιθέτως μία χάοτικὴ τροχιὰ δὲν ὀρίζει ἓνα δακτύλιο καὶ οἱ τομές τῆς ἀπὸ τὴν ἐπιφάνεια τομῆς A, B, \dots εἶναι διάσπαρτες (Σχ. 1 β).

Ἄν τὸ ἀρχικὸ σημεῖο τῆς τροχιᾶς εἶναι τὸ A , τότε τὸ ἐπόμενο σημεῖο τομῆς B (πρὸς τὰ θετικὰ \dot{x}) ὀρίζει μιὰ ἀπεικόνιση $A \rightarrow B$. Πολλὰ χαρακτηριστικὰ τῆς τάξεως καὶ τοῦ χάους μελετῶνται σὲ ἀπλὲς ἀπεικονίσεις ἀπὸ ἓνα σημεῖο (x, y) σὲ ἓνα ἄλλο σημεῖο (x', y') . Ἐνα τέτοιο παράδειγμα εἶναι ἡ «τυπικὴ ἀπεικόνιση»

$$\begin{aligned}x' &= x + y' \\ y' &= y + \frac{K}{2\pi} \sin(2\pi x)\end{aligned} \quad (\text{modulo } 1) \quad (1)$$



Σχ. 1. Τροχιές στο χώρο των φάσεων (x, y, \dot{x}) . (α) Μια οργανωμένη τροχιά καλύπτει την επιφάνεια ενός δακτυλίου. (β) Μια χαοτική τροχιά. Τα σημεία A, B, ... στην επιφάνεια τομής $(y=0)$ κείνται σε μία ομαλή καμπύλη στην περίπτωση (α) ενώ είναι διάσπαρτα στην περίπτωση (β).

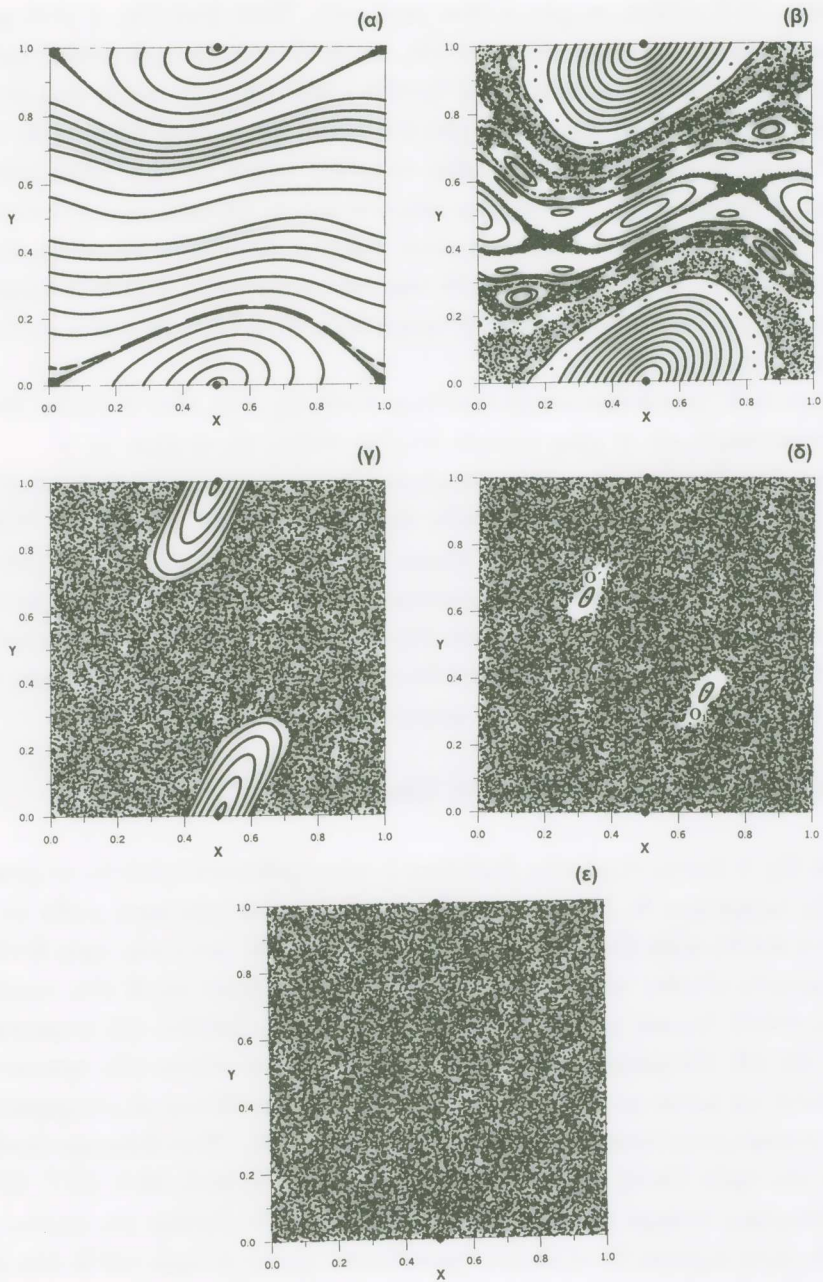
Το modulo 1 σημαίνει ότι το πεδίο ορισμού είναι το $[(0,1), (0,1)]$, δηλαδή $[0 < x < 1, 0 < y < 1]$. Όταν το x ή το y γίνει μεγαλύτερο από 1 αφαιρούμε ακέραιες μονάδες ώστε τα x και y να είναι πάντοτε μεταξύ 0 και 1.

Το K είναι μία παράμετρος που χαρακτηρίζει την μη γραμμικότητα της απεικόνισης. Όταν $K=0$ ή απεικόνιση (1) είναι γραμμική και δίνει ευθείες γραμμές $y' = y$, παράλληλες προς τον άξονα x . Όταν το K είναι μικρό οι γραμμές αυτές γίνονται καμπύλες (Σχ. 2 α). Οι περισσότερες καμπύλες αρχίζουν με $x=0$ και φθάνουν στο $x=1$ (όποτε επανέρχονται στο $x=0$ λόγω του modulo 1).

Το σημείο $(x=0.5, y=0)$, το οποίο ταυτίζεται με το σημείο $(x=0.5, y=1)$, παριστάνει μία ευσταθή περιοδική τροχιά. Καμπύλες που αρχίζουν κοντά στο σημείο αυτό κλείνουν γύρω από αυτό δημιουργώντας μια «νησίδα ευσταθείας». Πράγματι λόγω του modulo 1 οι καμπύλες με y κοντά στον άξονα $y=0$ συνεχίζονται, όταν φθάσουν στο $y=0$, με τις καμπύλες κοντά στον άξονα $y=1$ που αρχίζουν με το ίδιο x και $y=1$, στο επάνω μέρος του Σχ. 2 α.

Στο Σχ. 2 α υπάρχει μόνο μία μικρή περιοχή χάους, ή οποία αρχίζει από το σημείο $(0, 0)$ και φθάνει στο σημείο $(1, 0)$ και ομοίως από το $(1, 0)$ μέχρι το $(1, 1)$.

Όταν όμως το K γίνει μεγαλύτερο το χάος είναι μεγαλύτερο. Στο Σχ. 2 β υπάρχουν πολλές οργανωμένες τροχιές που παριστάνουν νησίδες γύρω από διάφορες περιοδικές τροχιές, αλλά και πολλές χαοτικές τροχιές που αποτελούνται από διάσπαρτα σημεία.



Σχ. 2. (α), (β), (γ), (δ), (ε). Τροχιές στην τυπική απεικόνιση για (α) $K=0.5$, (β) $K=1$, (γ) $K=3$, (δ) $K=5$ και (ε) $K=8$.

Καθώς τὸ K αὐξάνει, τὸ χάος αὐξάνει κατὰ πολὺ. Ὄταν $K=3$ (Σχ. 2 γ) τὸ χάος καλύπτει τὸ μεγαλύτερο μέρος τοῦ χώρου $[(0, 1), (0,1)]$ ἐκτὸς ἀπὸ μιὰ μεγάλη νησίδα γύρω ἀπὸ τὴν εὐσταθὴ περιοδικὴ τροχιὰ ($x=0.5, y=0$). (Ἡ μισὴ νησίδα εἶναι εἰς τὸ κάτω μέρος τοῦ σχήματος, καὶ ἡ ἄλλη μισὴ στὸ ἐπάνω μέρος, λόγω τοῦ modulo 1).

Ὄταν τὸ K γίνει $K=4$, ἡ εὐσταθὴς περιοδικὴ τροχιὰ ($x=0.5, y=0$) γίνεταί ἀσταθής. Ὄταν $K=5$ (Σχ. 2 δ) τὸ χάος καλύπτει καὶ τὶς περιοχὲς γύρω στὰ σημεῖα $(0.5, 0)$ καὶ $(0.5, 1)$. Στὴν περίπτωσιν αὐτὴ ὑπάρχουν δύο νησίδες εὐσταθεῖς, γύρω ἀπὸ δύο σημεῖα O_1, O'_1 . Τὰ σημεῖα αὐτὰ παριστάνουν εὐσταθεῖς περιοδικὲς τροχιὰς, ποὺ προῆλθαν ἀπὸ διακλάδωσιν ἀπὸ τὴν τροχιὰ $(0.5, 0) \equiv (0.5, 1)$ ὅταν αὐτὴ ἔγινε ἀσταθὴς γιὰ $K=4$.

Ὄταν τὸ K γίνει ἀκόμη μεγαλύτερο (π.χ. $K=8$, Σχ. 2 ε), ὅλες οἱ νησίδες αὐτὲς ἔχουν καταστραφεῖ καὶ τὸ χάος φαίνεται ὅτι εἶναι πλήρες εἰς τὸ χωρὸν (x, y) .

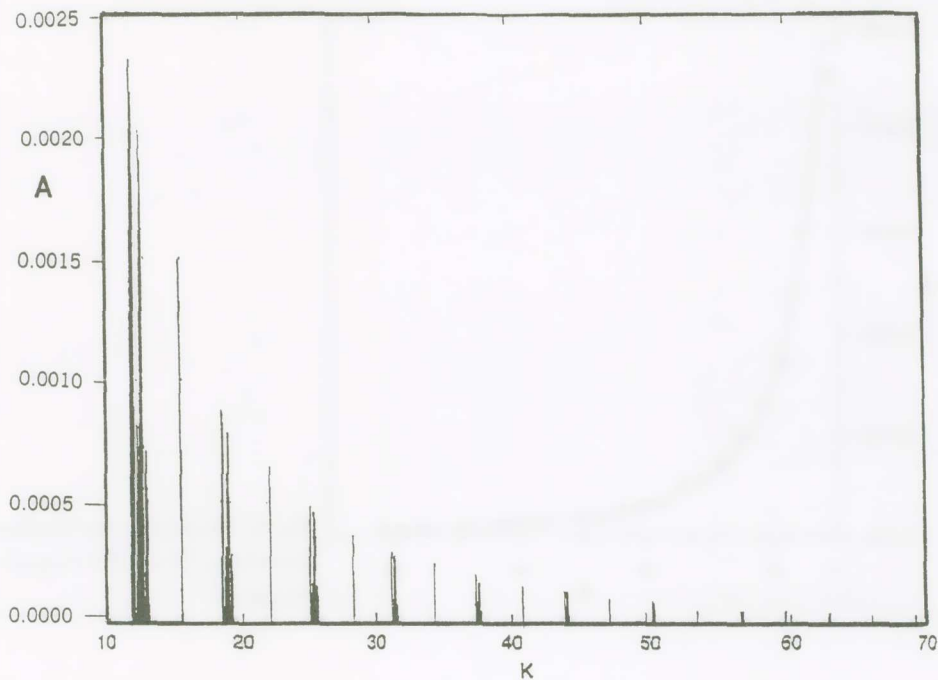
Παρ' ὅλα αὐτὰ ὑπάρχουν μερικὰ θεωρητικὰ ἐπιχειρήματα, τὰ ὁποῖα δείχνουν ὅτι σὲ πολλὰς περιπτώσεις ὑπάρχουν μικρὲς νησίδες εὐσταθείας (Newhouse 1983, Duarte 1994) σὲ διάφορα σημεῖα τοῦ χώρου (x, y) . Ἐκεῖνο ποὺ δὲν ἀνέμενε κανεὶς ἦταν ὅτι εἶναι δυνατόν νὰ ὑπάρχουν σχετικὰ μεγάλες νησίδες εὐσταθείας γιὰ μεγάλα K . Γι' αὐτὸ ἀπετέλεσε μιὰ ἔκπληξις ὅταν ἕνας συνεργάτης μας στὴ Βιέννη, ὁ καθηγητὴς R. Dvorak, βρῆκε σημαντικὰς νησίδες εὐσταθείας στὴν τυπικὴ ἀπεικόνισιν (1) γιὰ μεγάλες τιμὲς τῆς παραμέτρου μὴ γραμμικότητος K (Σχ. 3).

2. Ἐπαναληπτικότητα τῶν νησίδων στὸ Χάος

Στὸ Σχ. 3 δίνεται τὸ μέγεθος (ἐμβαδὸν) A τῶν νησίδων στὸ χωρὸν (x, y) συναρτήσιν τῆς παραμέτρου K . Παρατηροῦμε ὅτι τὸ ἐμβαδὸν εἶναι πρακτικῶς μηδὲν γιὰ K κοντὰ στὸ $K=10$, ἀλλὰ εἶναι μεγαλύτερο τοῦ μηδενὸς γιὰ K κοντὰ στὶς τιμὲς $K=12-13$. Τὸ μέγιστο μέγεθος τῶν νησίδων στὴν περιοχὴ αὐτὴ τιμῶν τοῦ K εἶναι μεγαλύτερο τοῦ 0.002, δηλαδὴ μεγαλύτερο ἀπὸ 0.2% τοῦ ὅλου ἐμβαδοῦ τοῦ τετραγώνου $[(0, 1), (0, 1)]$. Γιὰ μεγαλύτερα K ($K \geq 13.4$) τὸ ἐμβαδὸν γίνεταί πάλιν πρακτικῶς μηδέν, ἀλλὰ γιὰ ἀκόμη μεγαλύτερα K οἱ νησίδες ἐπανεμφανίζονται μὲ μιὰ χαρακτηριστικὴ ἐπαναληπτικὴτητα (περίπου περιοδικὴτητα) στὸ K . Ἔτσι βλέπουμε νησίδες πλησίον τῶν τιμῶν $K=12.1, 18.5, 24.9, 31.2, 37.5, 43.8, 50.1, 56.4, 62.7, 69.0$, κλπ. Ἐπομένως ὑπάρχει μιὰ περίοδος στὴν ἐμφάνισιν τῶν νησίδων ἴση περίπου μὲ $\Delta K=6.3$. Αὐτὸ σημαίνει ὅτι οἱ νησίδες ἐμφανίζονται κοντὰ σὲ τιμὲς τοῦ K ἴσες μὲ

$$K=12.1+6.3(n-1) \quad (2)$$

ὅπου οἱ πρῶτες νησίδες αὐτοῦ τοῦ τύπου ἐμφανίζονται γιὰ $n=1$ ($K=12.1$) καὶ οἱ ἐπόμενες γιὰ $n>1$.



Σχ. 3. Το μέγεθος των νησίδων ευσταθείας στην τυπική απεικόνιση συναρτήσει του K .

Έκτος αυτών των νησίδων εμφανίζονται και άλλες νησίδες (Σχ. 3) για $K=15.6$ και γενικά για

$$K=9.3+6.3(n-1) \quad (3)$$

ήτοι $K = 9.3, 15.6, 21.9, 28.2, 34.5, 40.8, 47.1, 53.4, 59.7, 65.9$, κλπ.

Οι νησίδες αυτές εκτείνονται σε πολύ μικρότερα διαστήματα τιμών του K από ό,τι οι προηγούμενες νησίδες (2).

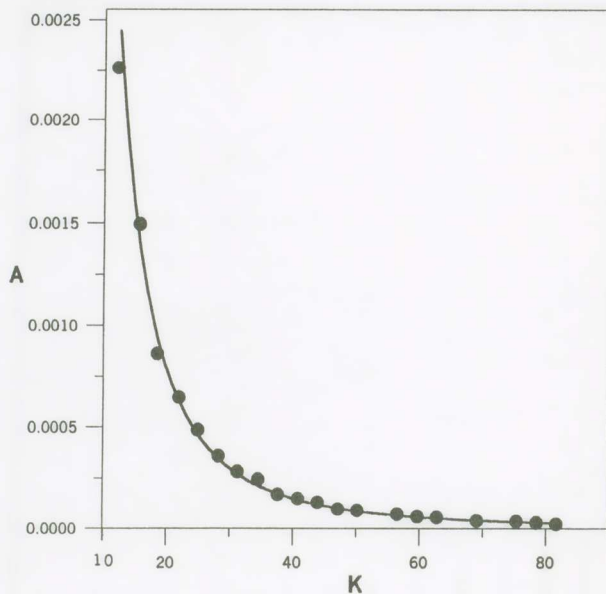
Το μέγιστο μέγεθος των νησίδων μικραίνει καθώς η παράμετρος K αυξάνει. Τα μέγιστα έμβαδά A ακολουθούν περίπου ένα νόμο δυνάμεως (Σχ. 4).

$$A=\alpha K^{\beta} \quad (4)$$

όπου $\alpha=0.9549$ και $\beta=-2.369$, και K αντιστοιχεί στα μέγιστα των νησίδων (2) και (3).

Παραδείγματος χάριν οι νησίδες πλησίον της τιμής $K=18.5$ είναι το πολύ 0.08% του όλου έμβαδού, κ.ο.κ.

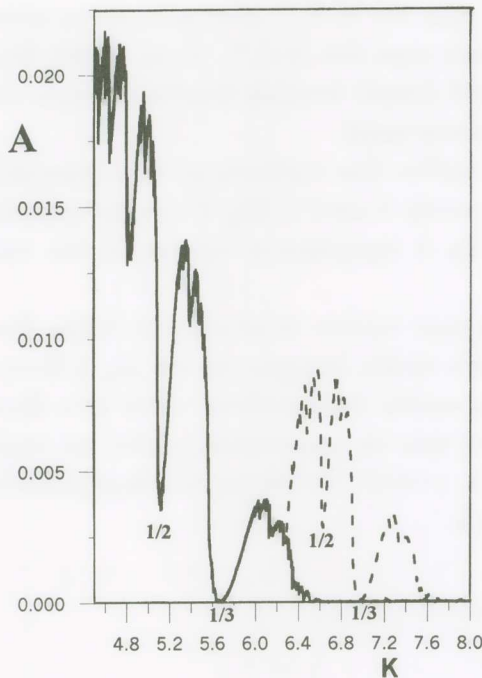
Καθώς το n αυξάνει, οι νησίδες (2) μικραίνουν και γίνονται μικρότερες από 0.001% όταν $K>127$.



Σχ. 4. Τα μέγιστα τῶν νησίδων εὐσταθείας (2) καὶ (3) συναρτῆσαι τοῦ K .

Σὲ κάθε περιοχὴ νησίδων τὸ μέγεθός τους αὐξομειώνεται κατὰ χαρακτηριστικὸ τρόπο (Σχ. 5). Οἱ νησίδες ἐμφανίζονται ἀπότομα ἐκ τοῦ μηδενός. Π.χ. στὸ Σχ. 5 παρατηροῦμε ὅτι οἱ νησίδες ἐμφανίζονται ὅταν $K \approx 11.89$ καὶ ἀρχικῶς αὐξάνουν ἀπότομα σὲ μέγεθος. Στὴ συνέχεια, καθὼς τὸ K αὐξάνει, τὸ μέγεθός τους ὑφίσταται ὠρισμένες χαρακτηριστικὲς αὐξομειώσεις. Οἱ ἐλαττώσεις μεγέθους τῶν νησίδων παρουσιάζονται σὲ συντονισμοὺς n/m , μερικοὶ ἀπὸ τοὺς ὁποίους σημειώνονται στὸ Σχ. 5.

Ἡ ἐξήγηση τοῦ φαινομένου αὐτοῦ ἔχει δοθεῖ ἀπὸ τοὺς Contopoulos et al. (1999). Τὰ ὅρια κάθε νησίδος δίνονται ἀπὸ τὴν τελευταία καμπύλη KAM (Kolmogorov, Arnold, Moser) γύρω ἀπὸ τὸ κέντρο τῆς νησίδος. Ἐξω ἀπὸ τὴν καμπύλη αὐτὴ ὑπάρχουν m δευτερεύουσες νησίδες ποὺ περιβάλλουν μία εὐσταθὴ περιοδικὴ τροχιά n/m περιόδου m . Μεταξὺ τῶν δευτερευουσῶν αὐτῶν νησίδων ὑπάρχουν τὰ m σημεῖα μιᾶς ἀσταθοῦς περιοδικῆς τροχιάς περιόδου m . Αὐτὰ τὰ σημεῖα συνοδεύονται ἀπὸ μικρὲς χαοτικὲς περιοχές, οἱ ὁποῖες ὅμως χωρίζονται ἀπὸ τὴν ἐξωτερικὴ μεγάλη χαοτικὴ θάλασσα, διότι παρεμβάλλεται ἡ τελευταία καμπύλη KAM. Ὅταν ὅμως τὸ K ὑπερβῆ μία κρίσιμη τιμὴ $K=K_{cr}$, ἡ τελευταία αὐτὴ καμπύλη KAM καταστρέφεται, δηλαδὴ ἀποκτᾷ ἄπειρες ὀπές, μέσω τῶν ὁποίων οἱ ἀνωτέρω m χαοτικὲς περιοχές ἐπικοινωνοῦν μὲ τὴν μεγάλη χαοτικὴ θάλασσα καὶ ἀποτελοῦν ἕκτοτε (γιὰ $K>K_{cr}$) μέρος τῆς χαοτικῆς θάλασσας. Γιὰ $K>K_{cr}$ ἡ νησίδα γίνεται ἀποτόμως πολὺ μικρότερη, καὶ ὀρίζεται



Σχ. 5. Το μέγεθος των νησίδων ευσταθείας συναρτήσει του K όταν το K εύρισκεται μεταξύ 4.5 και 8. Η έστιγμένη γραμμή παριστάνει νησίδες στον άξονα x .

από μία νέα «τελευταία καμπύλη KAM» που είναι πλησιέστερα προς το κέντρο της νησίδας από τις m προηγούμενες νησίδες, άρα έχει πολύ μικρότερες διαστάσεις απ' ό,τι προηγουμένως. Στη συνέχεια ή νέα αυτή καμπύλη KAM αυξάνει σε μέγεθος καθώς το K αυξάνει, μέχρις ότου το K φθάσει σε μία άλλη κρίσιμη τιμή, που αντιστοιχεί σε ένα άλλο συντονισμό, οπότε πάλι το μέγεθος της νησίδας ελαττώνεται απότομα, κ.ο.κ.

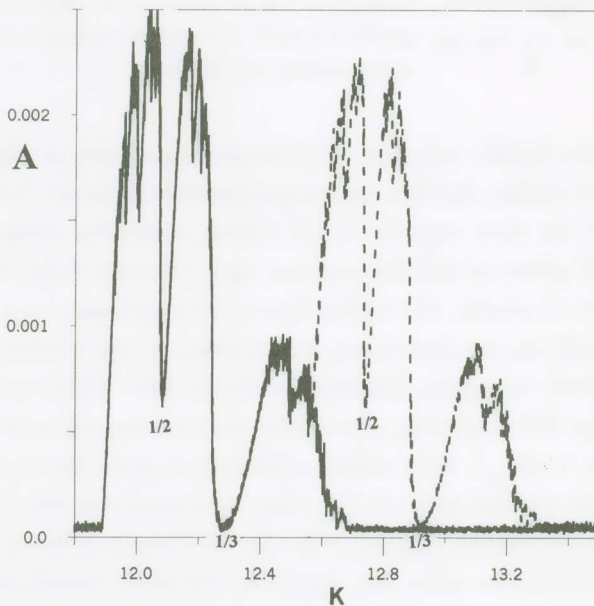
Έτσι έχουμε διαδοχικές αυξήσεις και ελαττώσεις του μεγέθους A των νησίδων, μέχρις ότου όλες οι νησίδες αυτού του τύπου εξαφανισθούν οπότε $A=0$. Ειδικότερα παρατηρούμε ότι στον συντονισμό $1/3$ το μέγεθος των νησίδων γίνεται στιγμιαία μηδέν (δηλαδή για μία ώρισμένη τιμή $K=K_{1/3}$), αλλά αυξάνει πάλι άμέσως μετά την τιμή $K=K_{1/3}$. Όμως το μέγεθος των νησίδων μετά το $K_{1/3}$ είναι πολύ μικρότερο από το μέγιστο προ του $K_{1/3}$ και τελικά οι νησίδες εξαφανίζονται (Σχ. 5, συνεχής γραμμή).

Οι νησίδες του Σχ. 5 εμφανίζονται γύρω από ώρισμένες ευσταθείς περιοδικές τροχιές. Οι νησίδες που δημιουργούνται όταν $K=11.89$ περιβάλλουν την ευσταθή περιοδική τροχιά O_1^* (ιδ. παράγρ. 4), ή οποία δημιουργείται όταν $K=11.89$. Η τροχιά αυτή γίνεται άσταθής όταν $K=12.57$. Τότε διακλαδίζεται μια ευσταθής τροχιά, διπλής περιόδου, ή οποία έχει δύο σημεία εις το επίπεδο (x, y) γύρω από το σημείο $O_1^*(*)$. Τα σημεία αυτά περιβάλλονται από δύο νησίδες. Αυτή ή περιοδική τροχιά γίνεται άσταθής για μεγαλύτερο K και τότε διακλαδίζεται μια τετραπλή περιοδική

τροχιά, ή οποία έχει 4 εϋσταθῆ σημεῖα γύρω ἀπὸ τὸ O_1^* . Αὐτὴ πάλι γίνεται ἀσταθής, δημιουργώντας μιὰ 8πλὴ διακλάδωση γύρω ἀπὸ τὸ O_1^* , κ.ο.κ. Τελικά, ὅταν τὸ K γίνει $K=12.65$, ἔχουν δημιουργηθεῖ ἄπειρες ἀσταθεῖς περιοδικές τροχιές καὶ ὅλες οἱ νησίδες γύρω ἀπὸ τὸ O_1 ἔχουν καταστραφεῖ.

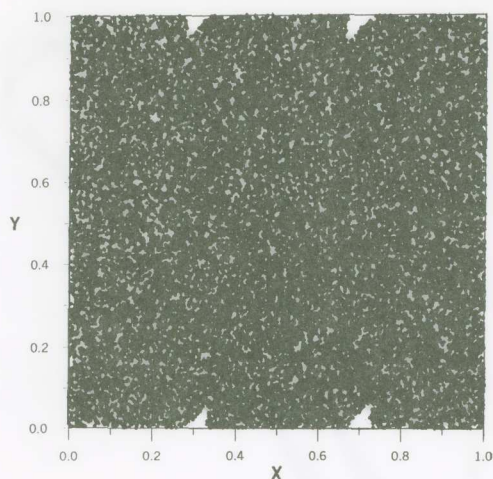
Οἱ ἀξομειώσεις τοῦ ἐμβαδοῦ τῶν νησίδων εἶναι παρόμοιες μὲ τὶς ἀξομειώσεις τῶν νησίδων O_1 ὅταν τὸ K εὑρίσκεται μεταξὺ 4 καὶ 6.5 (Σχ. 6 συνεχῆς γραμμῆ). Οἱ ἀξομειώσεις στὴν περίπτωση τοῦ Σχ. 6 περιγράφονται λεπτομερῶς ἀπὸ τοὺς Contopoulos et al. (1999).

Στὸ Σχ. 6 ὑπάρχει καὶ μιὰ δεύτερη σειρά νησίδων, τὸ μέγεθος τῶν ὁποίων δίνεται ἀπὸ μιὰ ἐστιγμένη γραμμῆ. Ἀνάλογες νησίδες ὑπάρχουν καὶ στὸ Σχ. 5 (ἐστιγμένη γραμμῆ). Οἱ δευτερεύουσες αὐτὲς νησίδες δημιουργοῦνται κοντὰ στὸν ἄξονα $y=0$ (καὶ $y=1$) (Σχ. 7) καὶ εἶναι ἄσχετες πρὸς τὶς προηγούμενες νησίδες ποὺ ὑπάρχουν στὴν περιοχὴ τοῦ σημεῖου ($x=0.7, y=0.4$). Ἡ ἐξήγηση τῶν δευτερευουσῶν αὐτῶν νησίδων δίνεται στὴν παράγραφο 5.



Σχ. 6. Μιὰ περιοχὴ τοῦ Σχ. 3 σὲ μεγέθυνση. Ἡ ἐστιγμένη γραμμῆ παριστάνει τὶς νησίδες στὸν ἄξονα x .

(*) Πρέπει νὰ σημειωθεῖ ὅτι ἐκτὸς τοῦ σημεῖου O_1^* ὑπάρχει ἕνα ἀκόμη σημεῖο $O_1^{*'}$ συμμετρικὸ τοῦ O_1^* ὡς πρὸς τὸ κέντρο τοῦ τετραγώνου $[(0,1), (0,1)]$. Ὅταν ἐμφανισθεῖ ἡ περιοδικὴ τροχιά μὲ δύο σημεῖα γύρω ἀπὸ τὸ O_1^* ὑπάρχουν ἄλλα δύο σημεῖα γύρω ἀπὸ τὸ $O_1^{*'}$, κ.ο.κ.



Σχ. 7. Δευτερεύουσες νησίδες κοντά στον άξονα $y=0$ (που ταυτίζεται με τον άξονα $y=1$ λόγω του modulo 1) για $K=6.7$.

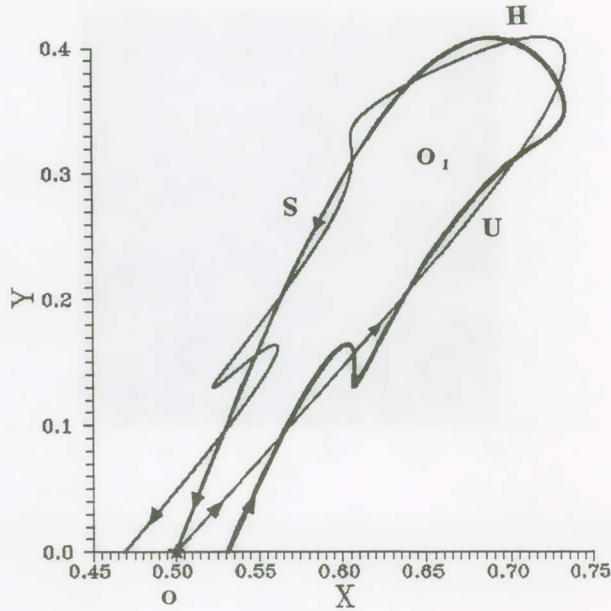
Έδω παρατηρούμε μόνο ότι οι αύξομειώσεις του μεγέθους των νησίδων αυτών (Σχ. 5 και 6) είναι παρόμοιες με τις αύξομειώσεις των νησίδων O_1 και O_1^* , σε διαφορετική όμως κλίμακα. Παρόμοιες αύξομειώσεις έχουν βρεθεί και σε άλλα προβλήματα. Έπομένως το φαινόμενο των αύξομειώσεων των νησίδων είναι γενικό (παγκόσμιο).

3. Ξήγηση

Η εξήγηση της επαναληπτικότητας των νησίδων της τυπικής απεικόνισης βασίζεται στα εξής στοιχεία:

1) Οι νησίδες οριοθετούνται (περιορίζονται) από τις ασυμπτωτικές καμπύλες της άσταθους περιοδικής τροχιάς O ($x=0.5, y=0$, ή $y=1$). Η άσταθής (U) και η ευσταθής (S) ασυμπτωματική καμπύλη τέμνονται σε άπειρα όμοκλινικά σημεία. Οι άρχες των ασυμπτωτικών καμπυλών και τα πρώτα όμοκλινικά σημεία στην περίπτωση $K=4.7$ δίνονται στο Σχ. 8. Το βασικό όμοκλινικό σημείο H εύρισκεται σε ίση περίπου απόσταση από την περιοδική τροχιά O κατά μήκος και των δύο καμπυλών U και S . Τα τόξα OH κατά μήκος των U και S ορίζουν μια έσωτερική περιοχή συντονισμού O_1 (Σχ. 8) με κέντρο την ευσταθή περιοδική τροχιά O_1 , που προέρχεται από διακλάδωση από την O όταν η τροχιά O ($0.5, 0$) γίνει άσταθής για $K \geq 4$.

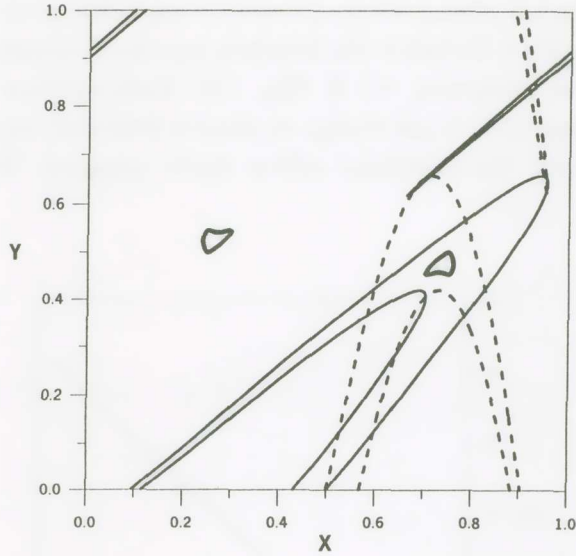
Οι ασυμπτωτικές καμπύλες δημιουργούνται όταν το K γίνει μεγαλύτερο του 4 και αυξάνουν εις μήκος καθώς το K αυξάνει. Οι ασυμπτωτικές αυτές καμπύλες



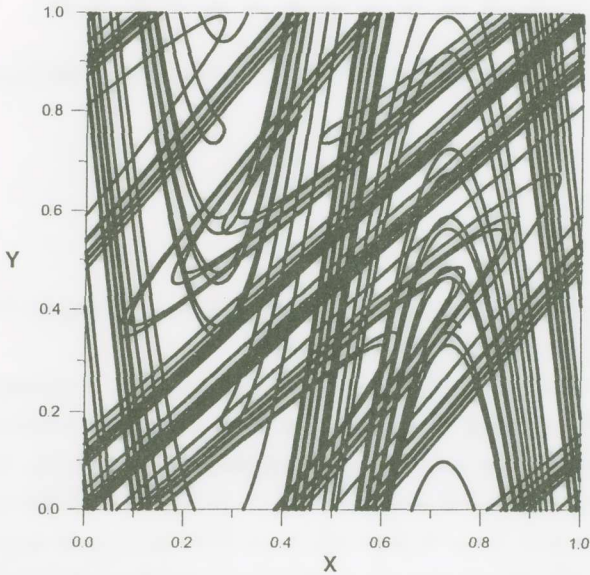
Σχ. 8. Οι άρχές τῶν ασυμπτωτικῶν καμπυλῶν (ἀσταθοῦς (U) καὶ εὐσταθοῦς (S)) τῆς ἀσταθοῦς περιοδικῆς τροχιᾶς ($x=0.5, y=0$) γιὰ $K=4.7$.

ἀποτελοῦνται ἀπὸ τόξα μεταξύ τῶν ὁμοκλινικῶν σημείων, καὶ παρουσιάζουν ταλαντώσεις στὸ χῶρο, ἐκτὸς καὶ ἐντὸς τῆς περιοχῆς συντονισμοῦ O_1 , πού ὀνομάζονται «λοβοί». Ὄταν τὸ K εἶναι μεταξύ 4 καὶ 6.6 περίπου, οἱ ἐσωτερικοὶ λοβοὶ δὲν καλύπτουν ὅλο τὸ χῶρο O_1 . Ἐπομένως ἀφήνουν χῶρο γιὰ τὴ δημιουργία μιᾶς νησίδος ἐντὸς τῆς περιοχῆς O_1 . Καθὼς τὸ K αὐξάνει, οἱ ταλαντώσεις τῶν ασυμπτωτικῶν καμπυλῶν γίνονται μεγαλύτερες (Σχ. 9), ἀλλὰ πάλι δὲν καλύπτουν ὅλο τὸν χῶρο συντονισμοῦ O_1 καὶ ἡ νησίδα O_1 ἐξακολουθεῖ νὰ ὑπάρχει (καὶ μία συμμετρικὴ νησίδα O_1'), καίτοι εἶναι μικρότερη.

Ὄταν ὅμως τὸ K γίνῃ ἀκόμη μεγαλύτερο, οἱ ταλαντώσεις καλύπτουν ὅλο τὸν χῶρο τῆς περιοχῆς O_1 (Σχ. 10). Ἐξ ἄλλου ἡ τροχιὰ O_1 γίνετα ἀσταθῆς (ιδ. παράγρ. 4) καὶ οἱ διακλαδιζόμενες ἀπὸ αὐτὴ τροχιᾶς γίνονται ἐπίσης ἀσταθεῖς. Αὐτὲς οἱ ἀσταθεῖς τροχιᾶς συνοδεύονται ἀπὸ ασυμπτωτικὲς καμπύλες τῆς τροχιᾶς O (οἱ ἀσταθεῖς ἀσυμπτωτικὲς καμπύλες τῶν τροχιῶν αὐτῶν τέμνουν τὴν εὐσταθὴ ἀσυμπτωτικὴ καμπύλη τῆς O , καὶ οἱ εὐσταθεῖς ἀσυμπτωτικὲς καμπύλες τέμνουν τὴν ἀσταθὴ ἀσυμπτωτικὴ καμπύλη τῆς O). Μὲ τίς τομὲς αὐτὲς δημιουργεῖται σημαντικὸ χάος στὸ ἐσωτερικὸ τῆς περιοχῆς O_1 . Καθὼς τὸ K αὐξάνει, ἡ τροχιὰ O_1 καὶ οἱ διακλαδώσεις της μετατοπίζονται σὲ μεγαλύτερα x καὶ y (ιδ. παράγρ. 4).

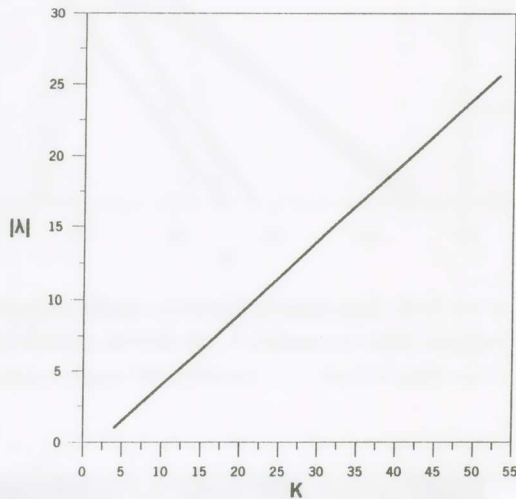


Σχ. 9. Όπως στο Σχ. 8 για $K=6$. Σημειώνονται ώρισμένες νησίδες ευσταθείας. Όταν οι καμπύλες φθάνουν στο $x=1$, συνεχίζουν, λόγω του modulo 1, από το $x=0$, και όταν φθάνουν στο $y=1$, συνεχίζουν από το $y=0$. (—) άσταθείς (U) και (---) εύσταθείς (S) ασυμπτωτικές καμπύλες.



Είκ. 10. Οι ασυμπτωτικές καμπύλες της άσταθούς περιοδικής τροχιάς ($x=0.5, y=0$) καλύπτουν όλο το χώρο όταν $K=8$.

2) Ἡ ἀύξηση τοῦ μήκους τῶν ἀσυμπτωτικῶν καμπυλῶν μὲ τὸ K εἶναι περίπου γραμμική. Πράγματι ἡ ἰδιοτιμὴ λ τῆς ἀσταθοῦς περιοδικῆς τροχιᾶς O εἶναι σχεδὸν ἀκριβῶς γραμμικὴ συνάρτηση τοῦ K (Σχ. 11). Κατὰ συνέπεια τὸ μήκος τῶν ἀσυμπτωτικῶν καμπυλῶν U καὶ S μέχρι τῆ μέγιστη ἀπόστασή τους ἀπὸ τὸ O (ποὺ ὀνομάζουμε «ἄκρον» τῶν καμπυλῶν) αὐξάνει σχεδὸν γραμμικά. Ἡ ἀρχικὴ ἐπιμή-

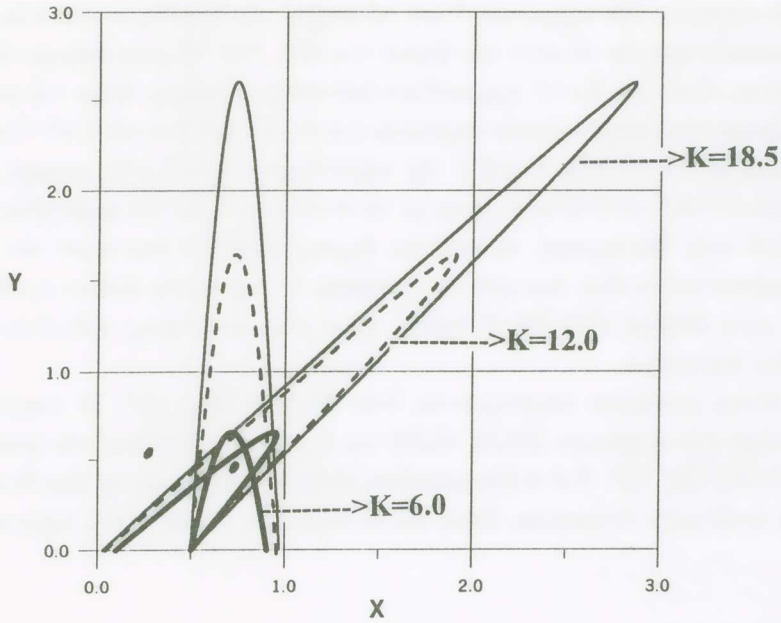


Σχ. 11. Ὁ δείκτης εὐσταθείας $|\lambda|$ τῆς τροχιᾶς ($x=0.5, y=0$) συναρτῆσει τοῦ δείκτου μῆ γραμμικότητος K .

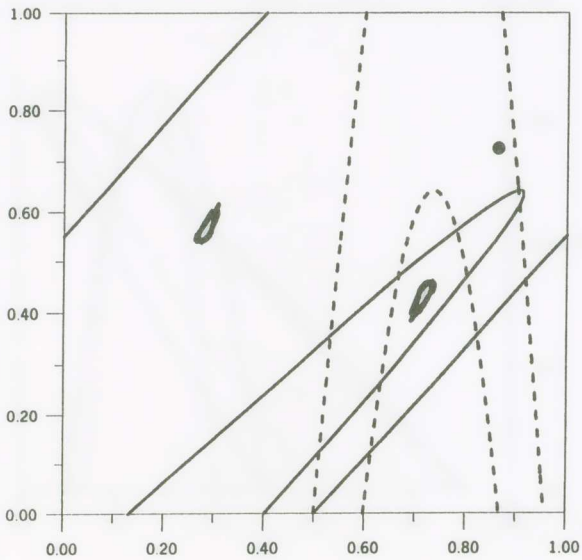
κυνση γίνεται κατὰ τις διευθύνσεις τῶν ἰδιοδιανυσμάτων τῆς τροχιᾶς O (Σχ. 12) ποὺ ἔχουν περίπου τὶς ἴδιες διευθύνσεις γιὰ κάθε K .

Ὅταν τὸ K γίνει περίπου $K=12$, τὸ ἄκρο τῆς καμπύλης U εὐρίσκεται στὸ τετράγωνο $[(1,2), (1,2)]$ καὶ ἔχει περίπου τὴν ἴδια θέση ὡς πρὸς τὸ τετράγωνο αὐτὸ ὅπως τὸ ἄκρο τῆς U γιὰ $K=6$ ὡς πρὸς τὸ ἀρχικὸ τετράγωνο $[(0,1), (0,1)]$. Ὁμοίως τὸ ἄκρο τῆς S γιὰ $K=12$ εὐρίσκεται στὸ τετράγωνο $[(0,1), (1,2)]$ καὶ στὴν ἴδια περίπου θέση ὡς πρὸς τὸ τετράγωνο αὐτὸ ὅπως τὸ ἄκρο τῆς S γιὰ $K=6$ ὡς πρὸς τὸ ἀρχικὸ τετράγωνο.

Οἱ περιοχὲς τῶν ἀσυμπτωτικῶν καμπυλῶν U καὶ S γιὰ $K=12$ ἐπαναφέρονται, λόγω τοῦ modulo 1, στὸ τετράγωνο $[(0,1), (0,1)]$ (Σχ. 13) καὶ ἔχουν παρόμοια μορφή καὶ θέση ὅπως οἱ καμπύλες U καὶ S γιὰ $K=6$ (Σχ. 9).



Σχ. 12. Οι άσυμπτωτικές καμπύλες τής τροχιάς $(x=0.5, y=0)$ χωρίς τό modulo 1 για $K=6, K=12$ και $K=18.5$.



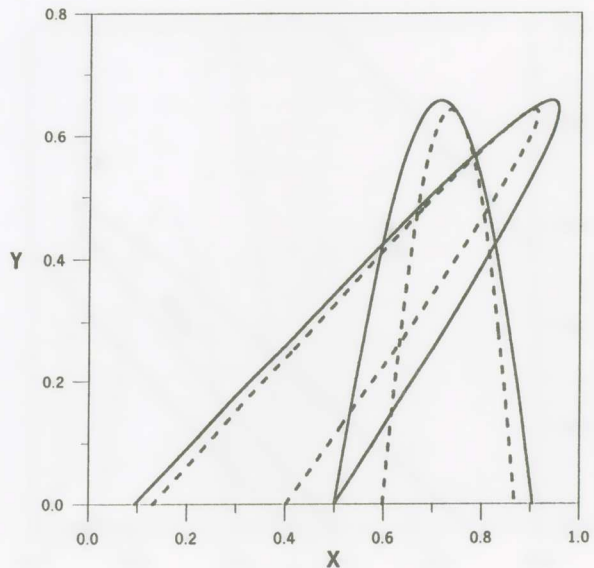
Σχ. 13. Όπως στο Σχ. 8 για $K=12$. Η τελεία παριστᾶ τὴν ἀσταθὴ περιοδικὴ τροχιά τής ἀρχικῆς οἰκογενείας O_1 .

Μια σύγκριση τῶν σχημάτων 9 καὶ 13 δείχνει τὴν ὁμοιότητα τῶν τόξων τῶν ἀσυμπτωτικῶν τροχιῶν πλησίον τῶν ἄκρων των (Σχ. 14). Ἡ μόνη διαφορὰ εἶναι ὅτι οἱ καμπύλες αὐτὲς γιὰ $K=12$ σχηματίζουν λεπτότερους λοβούς, λόγω τοῦ μεγαλύτερου μήκους τῶν ἀσυμπτωτικῶν καμπυλῶν γιὰ $K=12$ ἀπὸ ὅ,τι γιὰ $K=6$ (Σχ. 12).

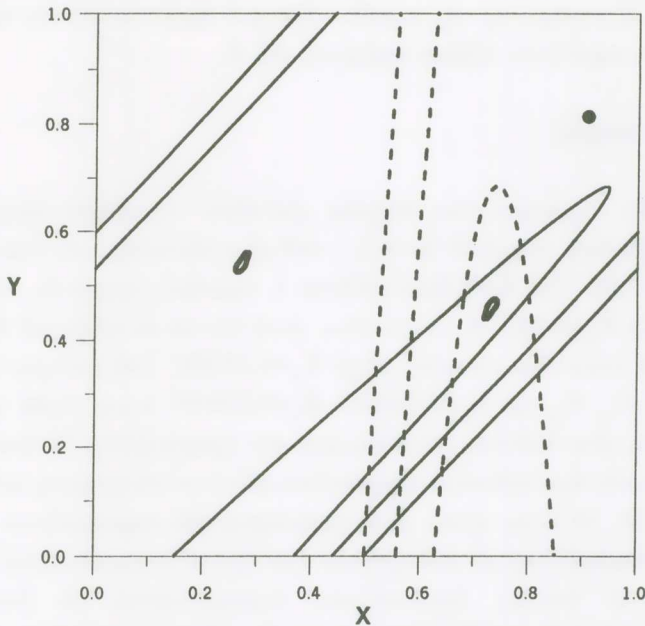
Δεδομένου ὅτι τὰ τόξα U καὶ S τῆς περιπτώσεως $K=12$ στὴν περιοχὴ κοντὰ στὸ σημεῖο $(x=0.7, y=0.4)$ εἶναι ὅμοια μὲ τὰ ἀντίστοιχα τόξα τῶν καμπυλῶν U καὶ S γιὰ $K=6$ στὴν ἴδια περιοχὴ, τὸ κενὸ ποὺ δημιουργεῖται στὸ ἐσωτερικὸ τῶν ἀλληλοτετανομένων λοβῶν εἶναι παρόμοιο καὶ ἐπιτρέπει τὴ δημιουργία ὁμοίων νησίδων.

Ἡ μόνη διαφορὰ εἶναι ὅτι οἱ νησίδες τώρα εἶναι μικρότερες, δεδομένου ὅτι οἱ λοβοὶ εἶναι λεπτότεροι.

Ἀνάλογα φαινόμενα παρατηροῦνται ὅταν $K=18.5$ (Σχ. 15). Ἡ καμπύλη U φθάνει τώρα στὸ τετράγωνο $[(2,3), (2,3)]$ καὶ ἡ καμπύλη S φθάνει στὸ τετράγωνο $[(0,1), (2,3)]$ (Σχ. 12). Καὶ οἱ δύο καμπύλες αὐτὲς ἔχουν περίπου τὶς ἴδιες θέσεις ὡς πρὸς τὰ ἀντίστοιχα τετράγωνα, ὅπως καὶ οἱ καμπύλες U καὶ S τῆς περιπτώσεως



Σχ. 14. Σύγκριση τῶν τόξων τῶν ἀσυμπτωτικῶν καμπυλῶν U καὶ S κοντὰ στὰ ἄκρα τους γιὰ $K=6$ (—) καὶ $K=12$ (- -).

Σχ. 15. Όπως στο Σχ. 13 για $K=18.5$.

$K=6$ ως προς τὸ τετράγωνο $[(0,1), (0,1)]$ ἔχουν παρεμφερῆ θέση καὶ δομὴ (Σχ. 15). Ἔτσι δημιουργοῦν ἓνα ἀντίστοιχο κενό, ὅπου σχηματίζονται νησίδες εὐσταθείας.

3) Ἀνάλογα φαινόμενα παρατηροῦνται γιὰ ὅλες τὶς τιμὲς τοῦ K ποὺ δίνονται ἀπὸ τὴν ἀκολουθία τιμῶν (2).

Ὅταν τὸ K ἔχει τὶς τιμὲς αὐτές, τὰ ἄκρα τῶν καμπυλῶν U καὶ S εὐρίσκονται στὰ τετράγωνα $[(n, n+1), (n, n+1)]$ καὶ $[(0,1), (n, n+1)]$ ἀντίστοιχα, καὶ στὶς ἴδιες περίπου θέσεις ὡς πρὸς τὰ τετράγωνα αὐτὰ ὅπως οἱ καμπύλες U καὶ S γιὰ $K=6$ ὡς πρὸς τὸ ἀρχικὸ τετράγωνο $[(0,1), (0,1)]$.

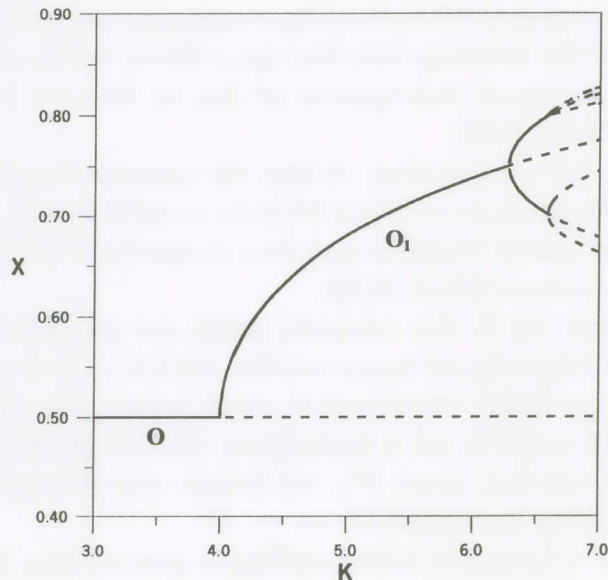
Ὅταν οἱ τιμὲς τοῦ K εἶναι ἐνδιάμεσες μεταξὺ 6.6 καὶ 11.9, οἱ λοβοὶ τῶν καμπυλῶν U καὶ S ἔχουν ἀρκετὰ διαφορετικὴ θέση ἀπὸ ὅ,τι γιὰ $K=6$ καὶ γιὰ $K=12$, ὥστε τέμνονται παντοῦ μέσα στὴν περιοχὴ O_1 καὶ δὲν ἀφήνουν χῶρο γιὰ νησίδες. Γιὰ $6.63 < K < 11.89$ ἡ τροχιά O_1 καὶ οἱ διακλαδώσεις της εἶναι ἀσταθεῖς, ἐνῶ ἡ ἀντίστοιχη εὐσταθὴς περιοδικὴ τροχιά O^*_1 , ποὺ ὑπάρχει στὴν ἴδια περίπου θέση γιὰ $K=12$, δὲν ἔχει ἀκόμη δημιουργηθεῖ (ιδ. παράγρ. 4).

Ἔτσι ἐξηγεῖται ἡ ἐπαναληπτικότης τῶν νησίδων μέσα στὸ χάος. Νησίδες δημιουργοῦνται ὅταν οἱ θέσεις τῶν ἄκρων τῶν ἀσυμπτωτικῶν καμπυλῶν U καὶ S εἶναι παρόμοιες (modulo 1) μὲ τὶς καμπύλες U καὶ S γιὰ $K=6$ σὲ ἀντίστοιχα τετράγω-

να (Σχ. 12). Η σταθερότης τῆς περιόδου $\Delta K=6.3$ ὀφείλεται στὸ ὅτι τὸ μῆκος τῶν ἀσυμπτωτικῶν καμπυλῶν αὐξάνει ἀναλόγως τοῦ K .

4. Περιοδικές τροχιές

Οἱ νησίδες δημιουργοῦνται πλησίον εὐσταθῶν περιοδικῶν τροχιῶν. Ὄταν $0 < K < 4$, ἡ περιοδική τροχιά O ($x=0.5, y=0$) εἶναι εὐσταθής, καὶ ὅταν $K > 4$, εἶναι ἀσταθής (Σχ. 16). Γιά $K=4$ διακλαδίζεται ἡ περιοδική τροχιά O_1 , ἡ ὁποία εἶναι εὐσταθής μέχρι $K_2=6.28319$. Ἀκολούθως αὐτὴ γίνεται ἀσταθής καὶ διακλαδίζεται ἡ τροχιά O_2 , ἡ ὁποία εἶναι εὐσταθής μέχρι $K_3=6.59382$. Στὴ συνέχεια ἐμφανίζονται οἱ τροχιές O_3, O_4, O_5 , γιά $K_3=6.59382, K_4=6.63019$, κ.ο.κ. Κάθε τροχιά αὐτῆς τῆς ἀκολουθίας εἶναι διπλασίας περιόδου ἀπὸ τὴν προηγούμενη. Τὰ διαστήματα δK μεταξύ διαδοχικῶν διακλαδώσεων σχηματίζουν φθίνουσα γεωμετρικὴ πρόοδο μὲ λόγος περίπου $\delta=8.72$. Ὁ λόγος αὐτὸς εἶναι παγκόσμιος καὶ παρουσιάζεται σὲ ὅλες τὶς δικρανοειδεῖς διακλαδώσεις σὲ συντηρητικὰ συστήματα (Benettin et al. 1980). Σὰν συνέπεια αὐτοῦ ἄπειρες διακλαδώσεις δημιουργοῦνται σὲ ἓνα διάστημα $(K_4-K_3)/[1-(1/8.72)] \approx 0.04108$ πέραν τοῦ K_3 . Ἐπομένως οἱ ἄπειρες διακλαδώ-

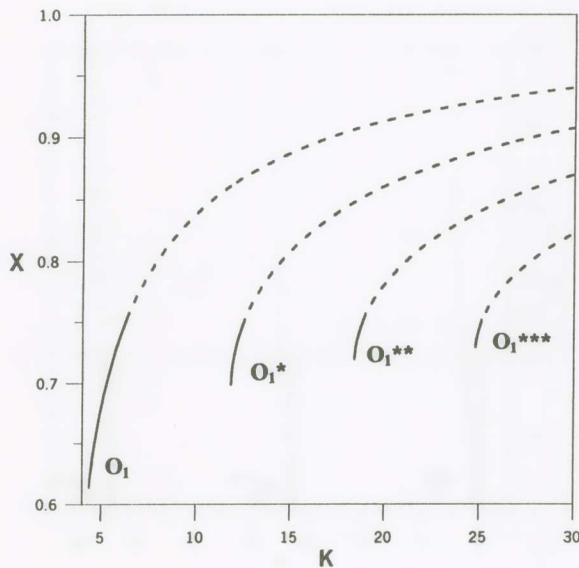


Σχ. 16. Χαρακτηριστικὲς τῶν περιοδικῶν τροχιῶν O, O_1 καὶ οἱ διακλαδώσεις των.

σεις συγκλίνουν στην τιμή $K_{\infty}=6.6349$. Αν το K γίνει μεγαλύτερο του $K_{\infty}=6.6349$, έχουμε άπειρες άσταθεις περιοδικές τροχιές.

Όπως φαίνεται από το Σχ. 16 η περιοδική τροχιά O_1 μετατοπίζεται σε μεγαλύτερα x καθώς το K αυξάνει. Ομοίως το y της O_1 μετατοπίζεται σε μεγαλύτερες τιμές με την αύξηση του K . Παραδείγματος χάριν για $K=12$ και $K=18.5$ οι θέσεις της άσταθους τροχιάς O_1 σημειώνονται ως τελείες στα σχήματα 13 και 15 αντίστοιχα. Σ' αυτές τις θέσεις υπάρχει χάος τόσο για $K=12$, όσο και για $K=18.5$.

Επομένως οι τροχιές O_1 για μεγάλα K φεύγουν μακριά από την περιοχή του σημείου $(x=0.7, y=0.4)$ όπου δημιουργούνται οι νέες νησίδες. Για $K=12$ και $K=18.5$ οι νέες περιοδικές τροχιές που δημιουργούνται δεν προέρχονται από διακλάδωση της τροχιάς O_1 . Είναι «άνώμαλες» (irregular) περιοδικές τροχιές (Contopoulos 1970) που δημιουργούνται κατά ζεύγη (μια ευσταθής και μια άσταθής) εκ του μηδενός. Οι χαρακτηριστικές καμπύλες των τροχιών αυτών δίνονται στο Σχ. 17. Στο σχήμα αυτό δίδονται οι συντεταγμένες x των περιοδικών τροχιών $O_1, O_1^*, O_1^{**}, O_1^{***}$, που δημιουργούνται όταν $K=4$ (O_1 =κανονική (regular) περιοδική τροχιά), και πλησίον των τιμών $K=12$ (O_1^*), $K=18.5$ (O_1^{**}) και $K=25$ (O_1^{***}). Ακριβέστερα οι τροχιές αυτές εμφανίζονται για

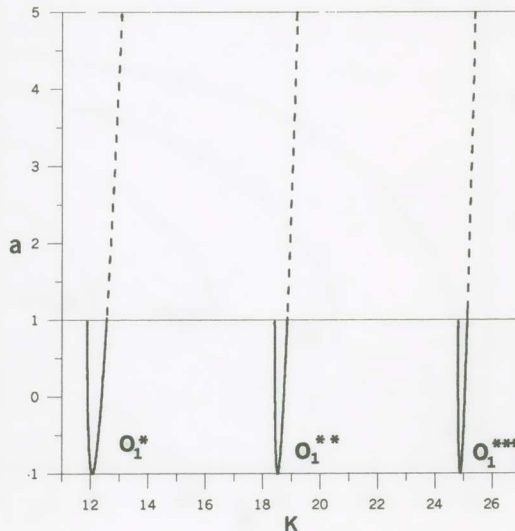


Σχ. 17. Χαρακτηριστικές των περιοδικών τροχιών $O_1, O_1^*, O_1^{**}, O_1^{***}$. (—) ευσταθείς, (- -) άσταθείς.

$K=11.889$, $K=18.432$ και $K=24.821$. Οι τροχιές O_1^* , O_1^{**} , O_1^{***} , είναι ανώμαλες. Δημιουργούνται ως ευσταθείς περιοδικές τροχιές σε ένα ελάχιστο K ή κάθε μία, μαζί με μία ασταθή περιοδική τροχιά, ή όποια δὲν σημειώνεται στο σχῆμα αυτό.

Ἡ ευστάθεια τῶν τροχιῶν O_1^* , O_1^{**} , O_1^{***} δίνεται στο Σχ. 18. Ἡ ευστάθεια ἢ αστάθεια τῶν τροχιῶν χαρακτηρίζεται ἀπὸ μία «παράμετρο ευσταθείας a » (Hénon 1965) συναρτήσεως τοῦ K . Οι τροχιές εἶναι ευσταθεῖς ὅταν $|a| < 1$ καὶ ασταθεῖς ὅταν $|a| > 1$. Οι νέες τροχιές εἶναι ἀρχικὰ ευσταθεῖς ἐνῶ γιὰ μεγαλύτερα K γίνονται ασταθεῖς καὶ ἡ αστάθειά τους ἀξάνει καθὼς τὸ K ἀξάνει.

Κάθε ευσταθῆς περιοδικὴ τροχιά πού γίνεται ασταθῆς ἀκολουθεῖται ἀπὸ μία ἀκολουθία ἀπειρων ευσταθῶν περιοδικῶν τροχιῶν μὲ διπλασιασμὸ τῆς περιόδου σὲ κάθε διακλάδωση, οἱ ὁποῖες καλύπτουν ἓνα μικρὸ διάστημα τιμῶν τοῦ K . Οι ἀκολουθίες αὐτὲς καταλήγουν σὲ μιὰ ἀπειρία ασταθῶν περιοδικῶν τροχιῶν πού δημιουργοῦν χάος. Ἐπομένως οἱ νησίδες ευσταθείας γύρω στὶς τιμές $K=12$, $K=18.5$, $K=25$ κλπ. ἀφοροῦν μικρὰ διαστήματα τιμῶν τοῦ K ἐνῶ ἔξω ἀπὸ τὰ διαστήματα αὐτὰ τὸ χάος κυριαρχεῖ.



Σχ. 18. Ὁ δείκτης ευσταθείας a συναρτήσεως τοῦ K γιὰ τὶς οἰκογένειες περιοδικῶν τροχιῶν πού δημιουργοῦνται γιὰ $K=11.89$, $K=18.41$ καὶ $K=24.81$.

5. Περιοδικές τροχιές στον άξονα x

Οι δευτερεύουσες νησίδες τών Σχ. 5 και 6 που εύρισκονται κατά τόν άξονα $x(y=0, \text{ και } y=1)$ περιβάλλουν εύσταθεῖς περιοδικές τροχιές οί όποῖες εύρισκονται άκριβῶς πάνω στον άξονα x (Σχ. 7).

Οί περιοδικές αὐτές τροχιές δημιουργοῦνται ὅταν $y'=y \pmod{1}$ δηλαδή ὅταν

$$\frac{K}{2\pi} \sin(2\pi x) = 1 \pmod{1} \quad (5)$$

Ἐς θεωρήσουμε τήν περίπτωση $(K/2\pi)\sin(2\pi x)=1$. Τότε ἡ ἐξίσωση

$$\sin(2\pi x) = \frac{2\pi}{K} \quad (6)$$

ἔχει λύση ὅταν

$$K \geq 2\pi \quad (7)$$

Διά $K=2\pi$, εἶναι $2\pi x=\pi/2$, ἄρα $x=1/4$. Ὅταν $K>2\pi$, τότε τὸ x ἔχει δύο τιμές, μία στό διάστημα $0<x<1/4$ και μία στό διάστημα $1/2>x>1/4$. Οί αντίστοιχες τιμές τών y και y' εἶναι $y'=0$ και $y'=1$ (ἄρα $y'=0 \pmod{1}$).

Ἀνάλογες τιμές εύρισκονται ὅταν $\sin(2\pi x)=-2\pi/K$. Τότε υπάρχουν δύο λύσεις γύρω ἀπό τὸ $x=-1/4 (=3/4 \pmod{1})$ μία μεγαλύτερη και μία μικρότερη ἀπό τὸ $x=3/4$.

Ἡ εύστάθεια τών τροχιῶν αὐτῶν εύρίσκεται ἂν ὑπολογίσουμε τις ιδιοτιμές λ τών άπειροστῶν μεταβολῶν ἀπό τις περιοδικές τροχιές. Αὐτές προκύπτουν ἀπό τις ἐξισώσεις

$$\delta x' = \delta x + \delta y + K \cos(2\pi x) \delta x = \lambda \delta x \quad (8)$$

$$\delta y' = \delta y + K \cos(2\pi x) \delta x = \lambda \delta y$$

ἀπό τις όποῖες προκύπτει

$$\lambda^2 - 2 \left(1 + \frac{K}{2} \cos(2\pi x) \right) \lambda + 1 = 0 \quad (9)$$

Ὅταν ἡ ἀπόλυτος τιμὴ τοῦ $1 + (K/2) \cos(2\pi x)$ εἶναι μεγαλύτερη τοῦ 1, ἡ τροχιά εἶναι άσταθής και ὅταν εἶναι ἀπολύτως μικρότερη τοῦ 1, ἡ τροχιά εἶναι εύσταθής.

Ἐπομένως οί τροχιές με $0<x<1/4$ εἶναι πάντοτε άσταθεῖς (όμοίως και οί τροχιές με $1>x>3/4$) και δέν δημιουργοῦν νησίδες γύρω τους (Σχ. 7). Ἀντιθέτως, οί τροχιές με $1/2>x>1/4$ (ἢ $1/2<x<3/4$) εἶναι εύσταθεῖς και δημιουργοῦν γύρω τους νησίδες ὅταν $1 + K/2 \cos(2\pi x) > -1$, ὅπου

$$\cos(2\pi x) = - \left(1 - \left(\frac{2\pi}{K} \right)^2 \right)^{1/2} \quad (10)$$

ἄρα

$$4 > K - \left(1 - \left(\frac{2\pi}{K} \right)^2 \right)^{1/2} \quad (11)$$

ἤ

$$K < 2\pi \left(1 + \left(\frac{4}{\pi^2} \right) \right)^{1/2} \quad (12)$$

Οἱ δευτερεύουσες τροχιές δίνονται ἀπὸ τὶς σχέσεις

$$x = \pm \frac{1}{2\pi} \sin^{-1} \left(\frac{2\pi}{K} \right) \pmod{1} \quad (13)$$

καὶ εἶναι εὐσταθεῖς ὅταν

$$2\pi < K < 2\pi \left(1 + \frac{4}{\pi^2} \right)^{1/2} \quad (14)$$

δηλαδή $6.283 < K < 7.448$

Οἱ τροχιές αὐτὲς δημιουργοῦν διακλαδώσεις λόγω συντονισμῶν καὶ σὲ κάθε συντονισμό παρατηροῦνται ἀπότομες ἐλαττώσεις τοῦ μεγέθους τῶν νησίδων. Π.χ. στὸν συντονισμό $1/3$ οἱ νησίδες ἐξαφανίζονται στιγμιαῖα (γιὰ μία μόνο τιμὴ τοῦ K) (Σχ. 5, 6).

Παρόμοια φαινόμενα παρατηροῦνται ὅταν

$$\frac{K}{2\pi} \sin(2\pi x) = \pm 2 \quad (15)$$

Τότε ἔχουμε νέες περιοδικές τροχιές ὅταν $K \geq 4\pi$, πὺ εὐρίσκονται στὰ σημεῖα

$$x = \pm \frac{1}{2\pi} \sin^{-1} \left(\frac{4\pi}{K} \right) \pmod{1} \quad (16)$$

Δύο τροχιές εἶναι ἀσταθεῖς καὶ δύο εὐσταθεῖς ὅταν

$$4\pi < K < 4\pi \left(1 + \frac{1}{\pi^2} \right)^{1/2} \quad (17)$$

Οἱ εὐσταθεῖς τροχιές δημιουργοῦν νησίδες ὅπως εἰς τὰ Σχ. 5, 6 (ἐστιγμένες γραμμές). Ἀνάλογα φαινόμενα ἐμφανίζονται ὅταν $K > 6\pi$, $K > 8\pi$ κλπ.

6. Συμπεράσματα

Διαπιστώσαμε ὅτι ὑπάρχει μιὰ ἐπαναληπτικότητα στὸ χάος πὺ δημιουργεῖται

στην «τυπική απεικόνιση» (1) για μεγάλες τιμές της μη γραμμικότητας K . Δηλαδή για τιμές του K που απέχουν μεταξύ τους $\Delta K=6.3$ εμφανίζονται νησίδες ευσταθείας σε ένα μικρό διάστημα τιμών του K .

Η επαναληπτικότητα αυτή εξηγείται από τη μορφή των ασυμπτωτικών καμπυλών της βασικής ασταθούς περιοδικής τροχιάς ($x=0.5, y=0$). Οι ασυμπτωτικές αυτές καμπύλες περιβάλλουν τις νησίδες (όταν υπάρχουν νησίδες). Το μήκος των ασυμπτωτικών τροχιών αυξάνει περίπου γραμμικά με το K . Όταν το K αυξάνει κατά ακέραιο πολλαπλάσιο του $\Delta K=6.3$, τα άκρα των ασυμπτωτικών καμπυλών U και S , χωρίς το modulo 1, εύρισκονται στην ίδια περίπου θέση ως προς τα τετράγωνα $[(n, n+1), (n, n+1)]$ και $[(0,1), (n, n+1)]$ αντίστοιχα, όπως και οι καμπύλες U και S για $K=6$ σε σχέση με το αρχικό τετράγωνο $[(0,1), (0,1)]$. Η μορφή των τόξων των ασυμπτωτικών καμπυλών πλησίον των άκρων των είναι παρόμοια, και αυτό εξηγεί την δημιουργία παρομοίων κενών, όπου εμφανίζονται οι νησίδες.

Οι νησίδες περιβάλλουν ευσταθείς περιοδικές τροχιές, οι οποίες δημιουργούνται στις ίδιες περίπου θέσεις (πλησίον του σημείου ($x=0.7, y=0.4$)). Οι τροχιές αυτές, εκτός από την πρώτη O_1 , που είναι ευσταθής μεταξύ $K=4$ και $K=6.28$, είναι ανώμαλες, δηλαδή δημιουργούνται εκ του μηδενός σε μια ελάχιστη τιμή του K κάθε μία. Οι τροχιές αυτές γίνονται ασταθείς για λίγο μεγαλύτερα K , αφού σχηματίζουν μία ακολουθία διακλαδώσεων, που οδηγεί σε άπειρες ασταθείς περιοδικές τροχιές, οι οποίες δημιουργούν χάος εις την περιοχή του σημείου ($x=0.7, y=0.4$).

Επομένως το χάος, το οποίο κυριαρχεί για μεγάλες τιμές του K δεν είναι πλήρες, αλλά περιλαμβάνει νησίδες ευσταθείας, οι οποίες επαναλαμβάνονται κατά περιοδικό τρόπο καθώς το K αυξάνει.

Παρόμοια φαινόμενα επαναληπτικότητας στο χάος, εμφανίζονται σε άλλες απεικονίσεις, αλλά και σε δυναμικά συστήματα όπως είναι οι γαλαξίες και το παγιδευμένο πλάσμα. Επομένως τα φαινόμενα αυτά φαίνεται ότι είναι πολύ γενικά και ή πρακτική τους σημασία μεγάλη. Με τον τρόπο αυτό ελπίζουμε να μπορέσουμε να εντοπίσουμε περιοχές ευσταθείας σε πολύ χαοτικά συστήματα, όπως είναι το πλάσμα. Αυτό θα βοηθήσει σημαντικά στον προγραμματισμό της παγιδεύσεως του πλάσματος ακόμη και όταν η ενέργεια των σωματίων του πλάσματος είναι μεγάλη.

SUMMARY

The distinction between order and chaos in a dynamical system is done by considering the distribution of the successive intersections of the orbits by a Poincaré surface of section. The successive intersections define a map. A representative map is the “standard map” $x'=x+y'$, $y'=y+(K/2\pi)\sin(2\pi x)$ (modulo 1). When the parameter K increases chaos increases in general, and it appears to be complete when $K=8$. However, important islands of stability were observed for much larger K , e.g. $K=12$, 18.5 etc. The appearance of islands is recurrent with a period about $\Delta K=6.3$. The islands that exist for $K=6$ reappear in approximately the same positions for $K=12$, etc. As K increases these islands increase and decrease in size in a characteristic way that seems to be universal (generic). For a little larger K the islands disappear, but they reappear near $K=18.5$, etc. We give a topological explanation of this phenomenon. Some islands are explained by analytic calculations. We study in particular the periodic orbits around which the islands are formed.

ΒΙΒΛΙΟΓΡΑΦΙΑ

- Benettin, G., Cercignani, C., Galgani, L. and Giorgilli, A.: 1980, *Lett.Nuovo Cim.* **28**, 1.
- Contopoulos, G.: 1970, *Astron. J.* **75**, 96.
- Contopoulos, G., Harsoula, M., Voglis, N. and Dvorak, R.: 1999, *J. Phys. A* **32**, 5213.
- Duarte, P.: 1994, *Ann.Inst.Henri Poincaré* **11**, 359.
- Hénon, M.: 1965, *Ann. Astrophys.* **28**, 992.
- Newhouse, S.E.: 1983, in Iooss, G., Helleman, R.H.G. and Stora, R. (eds) “Chaotic Behaviour of Deterministic Systems”, *North Holland*, Amsterdam, 443.